

УДК 546.05+666.9-16

DOI: 10.15372/KhUR20170309

## Получение композита $\text{Al}_2\text{O}_3/\text{МУНТ}$ из наноразмерных порошков $\text{Al}_2\text{O}_3$ и его механические свойства

А. Л. МЫЗЬ<sup>1</sup>, Р. А. ШУТИЛОВ<sup>2</sup>, И. С. БАТРАЕВ<sup>3</sup>, Г. Р. КАРАГЕДОВ<sup>1</sup>, Н. З. ЛЯХОВ<sup>1</sup><sup>1</sup>Институт химии твердого тела и механохимии Сибирского отделения РАН, Новосибирск, Россия

E-mail: myz@solid.nsc.ru

<sup>2</sup>Институт катализа им. Г. К. Борескова Сибирского отделения РАН, Новосибирск, Россия<sup>3</sup>Институт гидродинамики им. М. А. Лаврентьева Сибирского отделения РАН, Новосибирск, Россия

(Поступила 07.07.16)

### Аннотация

Получены композитные керамические материалы на основе  $\alpha$ -оксида алюминия, армированного углеродными нанотрубками. Синтез материала осуществлялся путем механохимического смешивания наночастиц  $\text{Al}_2\text{O}_3$  с предварительно диспергированными ультразвуком однослойными или многослойными нанотрубками (0.5–3 мас. %). Полученный пресс-порошок характеризуется равномерным распределением нанотрубок. Консолидация материала осуществлена холодным изостатическим прессованием и спеканием в вакууме с последующей горячей изостатической обработкой при давлении 200 МПа и температурах не выше 1520 °С. Установлено, что плотность полученного керамического материала близка к теоретически возможной, но разрушения нанотрубок за счет реакции с оксидом алюминия еще не происходит. Показано, что введение УНТ в алюмооксидную матрицу на основе нанопорошка не способствует улучшению механических (твёрдость, прочность на изгиб) характеристик по сравнению с недопироженным материалом. По-видимому, это связано с трудностью достижения качественного химического интерфейса на границе фаз.

**Ключевые слова:**  $\text{Al}_2\text{O}_3$ , углеродные нанотрубки, механические свойства, композитные материалы

### ВВЕДЕНИЕ

Многослойные углеродные нанотрубки (МУНТ) в силу уникальности таких свойств, как высокие тепло- [1, 2] и электропроводность [3, 4], модуль Юнга, прочность на растяжение [6, 7], соотношение длина/диаметр более  $10^3$ , широко применяются в качестве нанодобавок для создания нового поколения керамических композитов с улучшенными эксплуатационными свойствами [9–16]. Интенсивно разрабатываются керамические композитные материалы на основе наноразмерных оксидов  $\text{Al}_2\text{O}_3$ ,  $\text{TiO}_2$ ,  $\text{ZrO}_2$ ,  $\text{MgO}$ , модифицированных однослойными углеродными нано-

трубками (ОУНТ) или МУНТ [9, 17–23]. Керамика на основе  $\text{Al}_2\text{O}_3$  уже обладает широко востребованными в промышленности механическими свойствами: в зависимости от исходного порошка и способа получения материала твердость по Виккерсу (HV) составляет 8–25 ГПа, предел прочности на изгиб  $\sigma = 150$ –800 МПа, на сжатие – 0.5–2 ГПа [24–26]. Введение в алюмооксидную матрицу МУНТ считается перспективным способом модификации этих характеристик [13, 27–30].

В то же время синтез керамических композитов на основе оксида алюминия армированных МУНТ – непростая задача. Во-первых, весьма сложно добиться равномерного

распределения углеродных нанотрубок по объему керамики, поскольку в процессе приготовления трубы склонны к агрегированию [31] и к переплетанию в процессе роста [32]. Во-вторых, получение плотного материала требует высоких температур, что сопровождается восстановлением оксида углеродом нанотрубок.

Известно несколько подходов, обеспечивающих достаточно равномерное распределение МУНТ в керамических материалах. Это либо образование композитной смеси непосредственно в процессе синтеза [33–36], либо интенсивное перемешивание порошка с нанотрубками в суспензии или в сухом состоянии [37].

С целью предотвращения химической реакции между нанотрубками и оксидом алюминия и образования карбидов либо сокращается время нахождения композита при высокой температуре [29], либо снижается температура спекания за счет горячего изостатического прессования (ГИП) [38]. Очевидно также, что снизить температуру консолидации керамического композита можно за счет уменьшения размера частиц  $\text{Al}_2\text{O}_3$  и повышения тем самым их активности к спеканию [39]. В данной работе предпринята попытка использовать при приготовлении композитного керамического материала  $\text{Al}_2\text{O}_3/\text{МУНТ}$  нанопорошка  $\alpha\text{-Al}_2\text{O}_3$  с размером частиц 60–100 нм, обладающих исключительно высокой формируемостью и спекаемостью при температурах, недостаточных для восстановления оксида углеродом [40].

## ЭКСПЕРИМЕНТАЛЬНАЯ ЧАСТЬ

Синтез МУНТ осуществляли в реакторе с псевдоожженным слоем путем каталитического газофазного пиролиза этилена в присутствии катализатора  $\text{Fe}-\text{Co}/\text{Al}_2\text{O}_3$  при температуре 680 °C [41, 42]. В полученных МУНТ примесные частицы катализатора удаляли кипячением в течение 2 ч в растворе  $\text{HCl}$ , разбавленной водой (1 : 1). Далее образцы МУНТ отфильтровывали, промывали дистиллированной водой до нейтрального значения pH в фильтрате, сушими на воздухе при температуре 110 °C в течение 12 ч. Функционализацию (карбоксилирование) МУНТ проводили кипячением в концентрированной азотной кислоте (АО “Реахим”) в течение 1.5 ч,

затем отфильтровывали и промывали дистиллированной водой до нейтрального значения pH в фильтрате, после чего сушими при температуре 110 °C в течение 12 ч. По данным титрования, концентрация поверхностных карбоксильных групп составляла 0.8 групп/нм<sup>2</sup>.

Оксид  $\alpha\text{-Al}_2\text{O}_3$  получали по методу, описанному в [40]. Получение композитного материала состава 1 мас. % МУНТ– $\text{Al}_2\text{O}_3$  осуществляли в планетарно-центробежной мельнице типа АГО-2 (ЗАО “НОВИЦ”, Россия). Смесь порошков МУНТ и  $\alpha\text{-Al}_2\text{O}_3$  в количестве 5 г загружали в керамический ( $\text{ZrO}_2$ ) активатор и обрабатывали в течение 5 мин при ускорении 10g керамическими ( $\text{ZrO}_2$ , Tosoh Corp., Япония) мелющими телами (диаметром 3 мм) с добавлением нескольких капель этилового спирта. В ряде экспериментов использовали ОУНТ производства OCSiAl (Россия), которые смешивали с оксидом алюминия путем интенсивной ультразвуковой обработки суспензии в изопропиловом спирте и последующей сушки на ротационном испарителе.

Полученные порошки с МУНТ прессовались в таблетки диаметром 16 мм и высотой 3 мм и бруски размером 40 × 40 × 5 мм (для измерения прочности на изгиб) сухим одноосным прессованием при давлении 30 МПа и последующим изостатическим обжатием при давлении 200 МПа на установке AIP3-12-60C (American Isostatic Press, США). Таблетки с ОУНТ и без нанотрубок прессовались только одноосным методом при давлении 120 МПа. После прессования образцы спекали в вакуумной печи СНВЭ (ООО “Призма”, Россия) при давлении  $10^{-6}$  мм рт. ст. в течение 1 ч. Горячее изостатическое прессование (ГИП) спеченных образцов осуществлялось в графитовой печи при 1520 °C в течение 1 ч, при давлении аргона 200 МПа на установке AIP6-30H.

Рентгенофазовый анализ полученных образцов проводили на дифрактометре ДРОН-4 (ЗАО “Буревестник”, Россия) с монохроматизированным  $\text{CuK}_{\alpha}$ -излучением методом сканирования по точкам с шагом 0.01 град в области углов  $2\theta = 20\text{--}70^\circ$  и скоростью съемки 1 град/мин. Размеры кристаллитов оксида алюминия в порошках определяли с помощью программы PowderCell 2.4 с обязательным введением параметров стандартных образцов, полученных в идентичных условиях съемки.

Электронно-микроскопические снимки высокого разрешения (ПЭМ) получали на просвечивающем электронном микроскопе JEM-2010 (JEOL, Япония) с разрешением 0.14 нм с ускоряющим напряжением 200 кВ. Оценку распределения частиц по размерам проводили с помощью программы ITEM 2040. Количество частиц, используемых для оценки, составляло не менее 400 шт.

Морфологию частиц исходных материалов и полученных композитов исследовали с использованием растровых электронных микроскопов (РЭМ) JSM6460-LV JEOL и MIRA3 TESCAN. Ускоряющее напряжение составляло 20 и 30 кВ.

Измерения удельной поверхности образцов проводили на автоматизированной сорбционной установке проточного типа СОРБИ-М. Все образцы предварительно подвергали термической тренировке в токе аргона при 200 °C в течение 2 ч. Удельную поверхность  $S_{уд}$  рассчитывали по методу БЭТ.

Твердость по Виккерсу HV измерялась на предварительно полированных образцах с использованием твердомера EMCO-TEST DuraScan 50 при нагрузке на индентор массой 1 кг. Прочность на изгиб измерялась на испытательной машине Instron 5944 по трехточечному методу.

## РЕЗУЛЬТАТЫ И ОБСУЖДЕНИЕ

На рис. 1 приведена микрофотография РЭМ синтезированного порошка оксида алюминия. Вид-

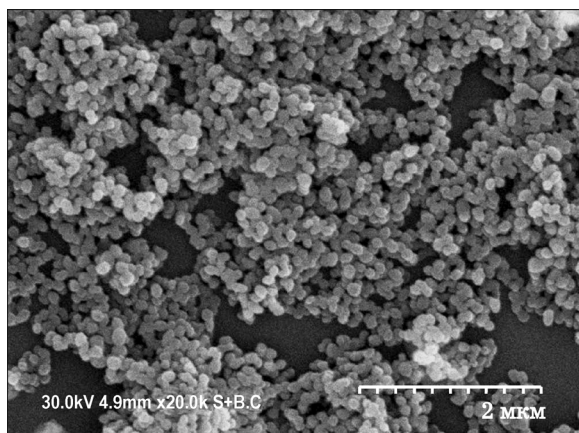


Рис. 1. Электронно-микроскопический снимок образца исходного оксида алюминия.

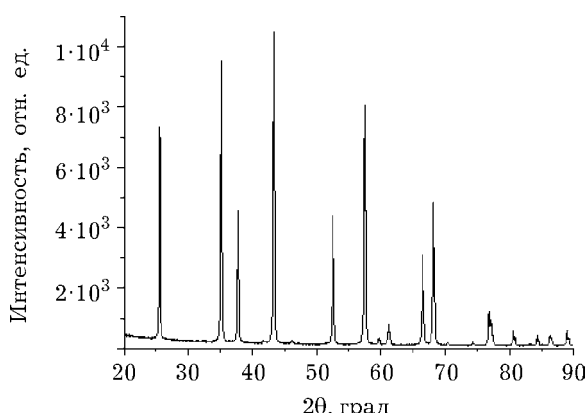


Рис. 2. Дифрактограмма исходного оксида алюминия.

но, что распределение частиц по размерам весьма узкое, а форма частиц близка к сферической. Средний численный размер частиц, по данным лазерной гранулометрии, составляет 106 нм.

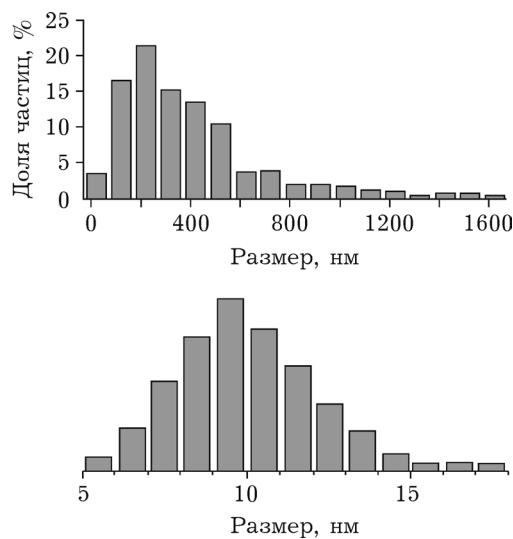
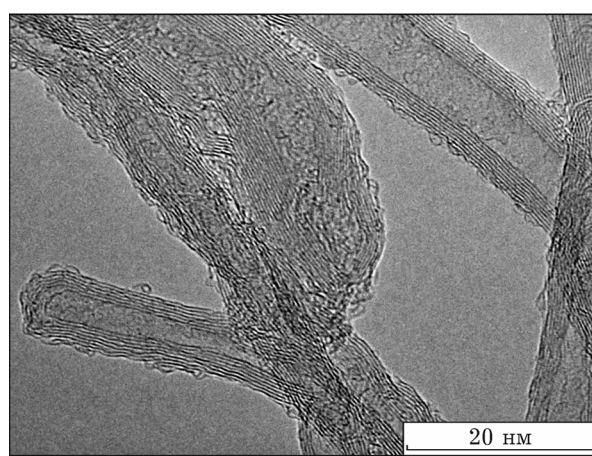


Рис. 3. Электронно-микроскопический снимок МУНТ (а) и соответствующие распределения нанотрубок по длине (б) и диаметру (в).

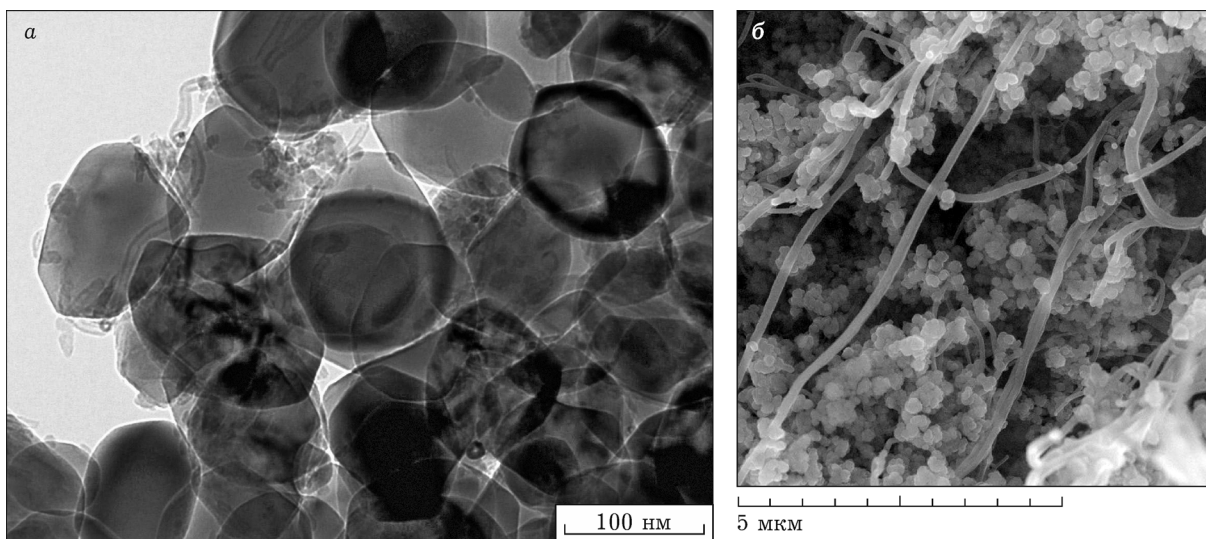


Рис. 4. Электронно-микроскопический снимок образцов с МУНТ–Al<sub>2</sub>O<sub>3</sub> (а) и ОУНТ–Al<sub>2</sub>O<sub>3</sub> (б).

Дифрактограмма порошка (рис. 2) оксида алюминия свидетельствует о хорошо окристаллизованной фазе  $\alpha$ -Al<sub>2</sub>O с размером ОКР, примерно равным 100 нм, т. е. размер кристаллитов практически совпадает с размером частиц, слагающих порошок.

На электронно-микроскопическом снимке исходного образца МУНТ (рис. 3) не наблюдается крупных агломератов и фиксируется большое количество единичных нанотрубок. Распределение нанотрубок по длине и диаметру узкое, средние значения составляют 285 и 10 нм соответственно (см. рис. 3, б, в).

Как отмечалось в [45], используемые МУНТ характеризуются высокой чистотой (доля  $sp^2$ -углерода превышает 99 %).

Удельная поверхность МУНТ составляет 270 м<sup>2</sup>/г, а истинная плотность – 2.05 г/см<sup>3</sup>.

Из данных электронно-микроскопических снимков образцов Al<sub>2</sub>O<sub>3</sub> с МУНТ и ОУНТ (рис. 4) следует, что механическая обработка не влияет на размер частиц Al<sub>2</sub>O<sub>3</sub>, который остался равным 100 нм, а УНТ достаточно равномерно распределены по образцу. Не обнаруживается крупных агломератов и других скоплений УНТ.

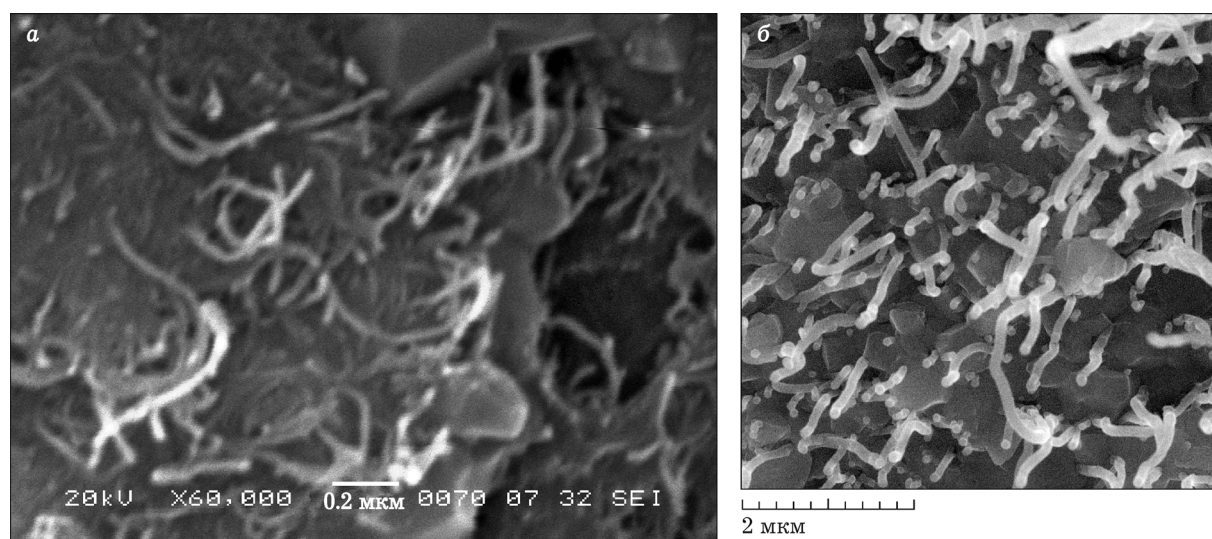


Рис. 5. Электронно-микроскопический снимок поверхности излома спеченной керамики с МУНТ–Al<sub>2</sub>O<sub>3</sub> (а) и ОУНТ–Al<sub>2</sub>O<sub>3</sub> (б).

## ТАБЛИЦА 1

Плотность и твердость композитного материала в зависимости от состава

Содержание МУНТ, %	Плотность $\rho$ , г/см <sup>3</sup> ,			Твердость, ГПа	
	При температуре спекания, °C				
	0 (исходная)	1450	1520		
0.75	2.13	3.40	3.48	—	
0.75*	2.23	3.64	3.76	3.98	
1.5	2.25	3.53	3.66	3.92	
1.5*	2.26	3.51	3.62	3.97	
2.0	2.07	3.03	3.08	—	
2.0*	2.20	3.17	3.25	—	
0	2.17	3.84	3.86	3.97	
				26	

\*Нанотрубки карбоксилированы.

## ТАБЛИЦА 2

Плотность и прочность композитного материала в зависимости от состава

Содержание ОУНТ, %	Плотность, г/см <sup>3</sup>			Прочность на изгиб, МПа	
	При температуре спекания, °C				
	0 (исходная)	1300	1400		
0	2.17	3.65	3.84	380	
0.5	2.12	3.56	3.83	255	
1	2.05	3.41	3.65	—	
3	1.96	2.56	2.89	—	

После спекания нанотрубки сохраняются (рис. 5), т. е. реакция

$$2\text{Al}_2\text{O}_3 + 9\text{C} \rightarrow \text{Al}_4\text{C}_3 + 6\text{CO} \quad (1)$$

не проходит в значительной степени. Возможно, отсутствие свободного объема в плотно спеченном композите препятствует образованию CO, смещающему равновесие влево.

В табл. 1 и 2 приведены данные по “сырой” ( $\rho_0$ ) и “спеченной” плотностям образцов, полученных в различных условиях, а также по их механическим характеристикам. На примере ОУНТ очевидно, что введение нанотрубок снижает формуемость порошков, за счет чего плотность композитного материала (“сырая” и после спекания) уменьшается. В случае с МУНТ значения “сырых” плотностей, сопоставимые с порошком, не содержащим нанотрубок, обеспечиваются гидростатическим обжатием. Однако после спекания негативное влияние нанотрубок на плотность становится очевидным. Высоких плотностей материала удается добиться лишь с применением ГИП и за счет повышения температуры.

Введение нанотрубок, независимо от применения ГИП и даже после достижения сравнимых плотностей, ухудшает механические свойства полученных материалов. По-видимому, это связано с тем, что в исследуемых экспериментальных условиях не удается обеспечить хороший химический контакт между углеродом и оксидом алюминия.

## ЗАКЛЮЧЕНИЕ

Несмотря на однородное распределение одно- и многослойных нанотрубок в нанопорошке  $\alpha\text{-Al}_2\text{O}_3$  и достижение высоких плотностей спеченного композитного материала при относительно низкой температуре с сохранением нанотрубок в матрице, не наблюдается улучшения таких механических свойств, как твердость и прочность на изгиб. Вероятно, это связано с тем, что не удается обеспечить качественный интерфейс между фазами углерода и оксида алюминия.

Работа выполнена в рамках Программы РАН №14-ФНИ45 “Научные основы создания новых материалов с заданными свойствами и функциями, в том числе высокочистых и наноматериалов”.

Авторы выражают благодарность В. Л. Кузнецовой (ИК СО РАН) за предоставленные образцы многослойных углеродных нанотрубок.

## СПИСОК ЛИТЕРАТУРЫ

- 1 Baughman R. H., Zakhidov A. A., de Heer W. A. // Science. 2002. Vol. 297, No. 5582. P. 787–792.
- 2 Biercuk M. J., Llaguno M. C., Radosavljevic M., Hyun J. K., Johnson A. T., Fischer J. E. // Appl. Phys. Lett. 2002. Vol. 80, No. 15. P. 2767–2769.
- 3 Ando Y., Zhao X., Shimoyama H., Sakai G., Kaneto K. // Int. J. Inorg. Materials. 1999. Vol. 1, No. 1. P. 77–82.
- 4 Hong S., Myung S. // Nat Nano. 2007. Vol. 2, No. 4. P. 207–208.
- 5 Treacy M. M. J., Ebbesen T. W., Gibson J. M. // Nature. 1996. Vol. 381, No. 6584. P. 678–680.
- 6 Yu M.-F., Files B. S., Arepalli S., Ruoff R. S. // Phys. Rev. Lett. 2000. Vol. 84, No. 24. P. 5552–5555.
- 7 Yu M.-F., Lourie O., Dyer M. J., Moloni K., Kelly T. F., Ruoff R. S. // Science. 2000. Vol. 287, No. 5453. P. 637–640.
- 8 Peigney A., Laurent C., Flahaut E., Rousset A. // Ceram. Int. 2000. Vol. 26, No. 6. P. 677–683.
- 9 Ahmad K., Pan W., Shi S.-L. // Appl. Phys. Lett. 2006. Vol. 89, No. 13. P. 133122–133122.
- 10 Xia Z., Curtin W. A., Sheldon B. W. // J. Eng. Mater. Technol. 2004. Vol. 126, No. 3. P. 238–244.
- 11 Michálek M., Sedláèek J., Parchoviansky M., Michálková M., Galusek D. // Ceram. Int. 2014. Vol. 40, No. 1, Part B. P. 1289–1295.
- 12 Zhan G.-D., Kuntz J. D., Garay J. E., Mukherjee A. K. // Appl. Phys. Lett. 2003. Vol. 83, No. 6. P. 1228–1230.
- 13 Zhang T., Kumari L., Du G. H., Li W. Z., Wang Q. W., Balani K., Agarwal A. // Composites Part A: Appl. Sci. Manufact. 2009. Vol. 40, No. 1. P. 86–93.
- 14 Boccaccini A. R., Acevedo D. R., Brusatin G., Colombo P. // JECS. 2005. Vol. 25. P. 1515–1523.
- 15 Cho J., Boccaccini A. R., Shaffer S. P. // J. Mat. Sci. 2009. Vol. 44. P. 1934–1951.
- 16 Samal S. S., Bal S., Miner J. // Mater.Characterization. 2008. Vol. 7. P. 355–370.
17. Yamamoto G., Shirasu K., Nozaka Y., Wang W., Hashida T. // Mater. Sci. Eng. 2014. Vol. 617. P. 179–186.
18. Ahmad I., Cao H., Chen H., Zhao H., Kennedy A., Zhu Y. Q. // J. Europ. Ceram. Soc. 2010. Vol. 30, No. 4. P. 865–873.
- 19 Kim D.-I., Vu D.-T., Zhang T., Li M., Shen L., Zhou X., Jeong M. Y., Han Y.-H., Kim S., Yun J., Huang Q., Lee D.-Y. // J. Ceram. Soc. Japan. 2014. Vol. 122, No. 1432. P. 1028–1031.
- 20 Srikanth I., Padmavathi N., Kumar S., Ghosal P., Kumar A., Subrahmanyam C. // Comp. Sci. Technol. 2013. Vol. 80. P. 1–7.
- 21 Berki P., Reti B., Terzi K., Bountas I., Horvath E., Fejes D., Magrez A., Tsakiroglou C., Forro L., Hernadi K. // Phys. Status Solidi B – Basic Solid State Physics. 2014. Vol. 251, No 12. P. 2384–2388.
- 22 Volodin A. A., Belmesov A. A., Murzin V. B., Fursikov P. V., Zolotarenko A. D., Tarasov B. P. // Inorgan. Mater. 2013. Vol. 49, No. 7. P. 656–662.
- 23 Taleshi F., Hosseini A. // J.Nanostruct. Chem. 2012. Vol. 3, No. 1. P. 4.
- 24 Auerkari P. Mechanical and Physical Properties of Engineering Alumina Ceramics. Technical Research Centre of Finland, Finland, 1996. 26 p.
- 25 Wachtman J. B., Cannon W. R., Matthewson M. J. // Mechanical Properties of Ceramics. NY: Wiley, 2009.
- 26 Rice R. W. // J. Mat. Sci. 1996. Vol. 31. P. 1509–1528.
- 27 USA Pat. No. 6,420,293,B1, 2002.
- 28 Ahmad K., Pan W. // Composites Science and Technology. 2008. Vol. 68. P. 1321–1327.
- 29 Kwon H., Estili M., Takagi K., Miyazaki T., Kawasaki A. // Carbon. 2009. Vol. 47. P. 570–577.
- 30 Inam F., Yan H., Jayaseelan D. D., Peijis T., Reece M. J. // JECS. 2010. Vol. 30. P. 153–157.
- 31 Park T. J., Banerjee S., Hemraj-Benny T., Wong S. // J. Mater. Chem. 2006. Vol. 16. P. 141–154.
- 32 Федосова Н. А., Файкова П. П., Зараменских К. С., Попова Н. А., Жариков Е. М., Колыцова Э. М. // Усп. Химии. 2012. Т. 26, № 1. С. 130.
- 33 Wei Z., Fan Z., Luo G., Wei F., Zhao D., Fan J. // Mater. Res. Bull. 2008. Vol. 43. P. 2806–9.
- 34 Rul S., Lefevre-Schlick F., Capra E., Laurent Ch., Peigney A. // Acta Mater. 2004. Vol. 52. P. 1061–7.
- 35 Zhang T., Kumari L., Du G. H., Li W. Z., Wang Q. W., Balani K., Agarwal A. // Composites, Part A. 2009. Vol. 40. P. 86–93.
- 36 Lee S. J., Kim H. S., Park N-K., Lee T. J., Kang M. // Chem. Eng. J. 2013. Vol. 230. P. 351–360.
- 37 Lu K. // J. Mater. Sci. 2008. Vol. 43. P. 652–659.
- 38 Ueda N // J. Ceram. Soc. Japan. 2010. Vol. 118, No. 9. P. 847–854.
- 39 Карапедов Г. Р., Ляхов Н. З. // Химия уст. разв. 1999. Т. 7, № 2. С. 229–238.
- 40 Karagedov G. R., Myz A. L. // J. Europ. Ceram. Soc. 2012. Vol. 32. P. 219–225.
- 41 Kuznetsov V. L., Krasnikov D. V., Schmakov A. N. and Elumeeva K. V. // Phys. Stat. Solidi (B). 2012. Vol. 249, No. 12. P. 2390–2394.
- 42 Usoltseva A., Kuznetsov V., Rudina N., Moroz E., Haluska M., Roth S. // Phys. Stat. Solidi (B). 2007. Vol. 244, No. 11. P. 3920–3924.
- 43 Mazov I., Kuznetsov V. L., Simonova I. A., Stadnichenko A. I., Ishchenko A. V., Romanenko A. I., Tkachev E. N., Anikeeva O. B. // Appl. Surf. Sci. 2012. Vol. 258, No. 17.P. 6272–6280.
- 44 Adsorption, Surface Area, and Porosity / Ed. by S. J. Gregg, K. S. W. Sing. London-NY: Acad. Press, 1982. 310 p.
- 45 Kuznetsov V. L., Bokova-Sirosh S. N., Moseenkov S. I., Ishchenko A. V., Krasnikov D. V., Kazakova M. A., Romanenko A. I., Tkachev E. N., Obraztsova E. D. // Phys. Stat. Solidi (b). 2014. Vol. 251, No. 12. P. 2444–2450.